

岩手大学工学部 正員 岩崎 正二
北海道大学工学部 正員 能町 純雄

1. まえがき

トラス下弦材をガーダーで置き換えたトラス構造物、すなわちガーダーをトラスで補強したような構造物を考える。このような構造物がボニートラス型式の場合、作用する外力が大きくなると上弦材全体が側方に座屈する危険性が存在する。ここでは歩道橋の手すりをトラスとして構造の一部とするような場合を考え、トラスとガーダーと横桁とモデル化して側方不安定を検討した。

2. つりあい方程式

ガーダーを補剛するトラスの型式はワーレン型とする。剛な上弦材は各点でヒンジ結合され、ガーダーの断面はI型断面とする。下部格点に作用する外力 P が大きくなると、圧縮弦材は不安定状態となり横向方向変位 $V_{\frac{1}{2}}, V_{\frac{3}{2}}, \dots, V_{r+\frac{1}{2}}, \dots, V_{n-\frac{1}{2}}$ を生じる。

$r + \frac{1}{2}$ 点における弾性反力はガーダーのねじれ角を考慮すると、図-2より

$$H_{r+\frac{1}{2}} = (2V_{r+\frac{1}{2}} - \nabla \alpha_r h') \frac{3E_d I_d}{d^3} \quad (1)$$

ただし $\nabla \alpha_r = \alpha_{r+1} - \alpha_r$

従って $r + \frac{1}{2}$ 点に作用する x 方向の力のつりあいは図-3より

$$\Delta \{ N_{r-\frac{1}{2}, r+\frac{1}{2}} \Delta V_{r-\frac{1}{2}} / \lambda \} + (2V_{r+\frac{1}{2}} - \nabla \alpha_r h') \frac{3E_d I_d}{d^3} = 0 \quad (2)$$

ただし $\Delta f_r = f_{r+1} - f_r$

次に T 点における x 軸方向のねじりのつりあいを考えると図-4より

$$T_{r,r-1} - T_{r,r+1} + M_{ft} - h'(H_{r-\frac{1}{2},r} + H_{r+\frac{1}{2},r}) = 0 \quad (3)$$

ここでガーダーのねじれ剛性 GJ 、横桁の曲げ剛性 $E_f I_f$ とすると

$$\begin{cases} T_{r,r+1} = \frac{GJ}{\lambda} (\alpha_{r+1} - \alpha_r), & M_{ft} = \frac{2E_f I_f}{b} \alpha_r \\ T_{r,r-1} = \frac{GJ}{\lambda} (\alpha_r - \alpha_{r-1}). \end{cases} \quad (4)$$

(4)式を(3)式に代入し整理すると

$$\Delta^2 \alpha_{r-1} - \beta_1 \alpha_r + \beta_2 \Delta V_{r-\frac{1}{2}} = 0 \quad (5)$$

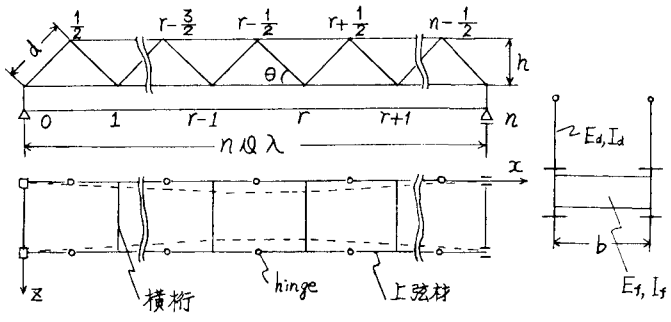
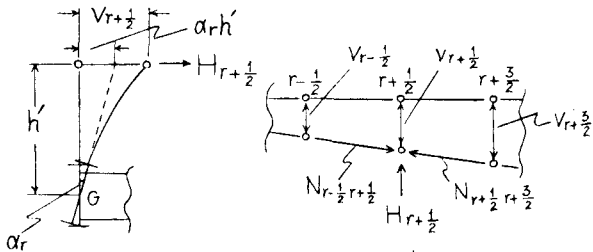
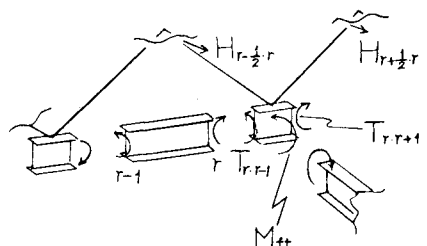


図-1

図-2 $r + \frac{1}{2}$ 点における弾性反力図-3 $r + \frac{1}{2}$ 点における力図-4 T 点における x 軸方向モーメント

$$\text{ただし } \beta_1 = 2\left(\frac{E_f I_f}{GJ}\right)\left(\frac{\lambda}{b}\right) + 6\left(\frac{E_d I_d}{GJ}\right)\left(\frac{\lambda}{d}\right)\left(\frac{h'}{d}\right)^2, \quad \beta_2 = 3\left(\frac{E_d I_d}{GJ}\right)\frac{\lambda h'}{d^3}, \quad \Delta^2 \alpha_{r-1} = \alpha_{r+1} - 2\alpha_r + \alpha_{r-1}.$$

3. 解式

今、上弦材の軸力が全長にわたって一定と考える場合 (2) 式は

$$N \Delta^2 V_{r-\frac{1}{2}} + (2V_{r+\frac{1}{2}} - \nabla \alpha_r h') \frac{3E_d I_d \lambda}{d^3} = 0 \quad (6)$$

(5) 式、(6) 式にフーリエ定理と分変換を作用させ、境界条件を考慮すると

$$\begin{pmatrix} ND_i - \frac{6E_d I_d \lambda}{d^3} & \frac{6E_d I_d h' \lambda}{d^3} \cos \frac{i\pi}{2n} \\ -2\beta_2 \cos \frac{i\pi}{2n} & D_i + \beta_1 \end{pmatrix} \begin{pmatrix} \bar{S}_i(V_{r+\frac{1}{2}}) \\ S_i(\alpha_r) \end{pmatrix} = 0 \quad (7)$$

$$\text{ただし } \bar{S}_i(V_{r+\frac{1}{2}}) = \sum_{r=0}^{n-1} V_{r+\frac{1}{2}} \sin \frac{i\pi}{n} (r + \frac{1}{2}), \quad S_i(\alpha_r) = \sum_{r=1}^{n-1} \alpha_r \sin \frac{i\pi}{n} r, \quad D_i = 2(1 - \cos \frac{i\pi}{n}).$$

$\bar{S}_i(V_{r+\frac{1}{2}}), S_i(\alpha_r)$ が解をもつためには係数行列式をゼロとしなければならない。

$$\frac{Nd^3}{6E_d I_d \lambda} = \frac{1}{D_i + \beta_1} \left(1 + \frac{\beta_2 h'}{2} + \frac{\beta_1 - 2\beta_2 h'}{D_i} \right) \quad (i=1, 2, \dots, n-1) \quad (8)$$

上式で N を最小とするものは D_i を極大とするものすなわち $i = n-1$ のときである。従って (8) 式は

$$\frac{Nd^3}{6E_d I_d \lambda} = \frac{1}{2(1 + \cos \frac{\pi}{n}) + \beta_1} \left\{ 1 + \frac{\beta_2 h'}{2} + \frac{\beta_1 - 2\beta_2 h'}{2(1 + \cos \frac{\pi}{n})} \right\} \quad (9)$$

次に上弦材の軸力が変化する場合は (5) 式をマトリックス表示すると

$$[A] \{ \alpha_r \} = \beta_2 \{ V_{r+\frac{1}{2}} + V_{r-\frac{1}{2}} \} \quad (10)$$

$$\text{ただし } \{ \alpha_r \} = \{ \alpha_1, \alpha_2, \dots, \alpha_{n-1} \}^T, \quad \{ V_{r+\frac{1}{2}} + V_{r-\frac{1}{2}} \} = \{ V_{\frac{3}{2}} + V_{\frac{1}{2}}, \dots, V_{n-\frac{1}{2}} + V_{n-\frac{3}{2}} \}^T$$

$[a_{ij}]$ を $[A]$ の i 行 j 列要素とすると、 $[a_{ii}] = 2 + \beta_1$, $[a_{i,i+1}] = [a_{i+1,i}] = -1$, それ以外は $[a_{ij}] = 0$ となる。

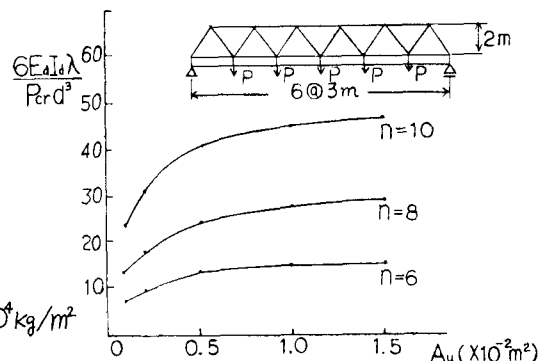
$$(10) \text{ 式より } \{ \alpha_r \} = \beta_2 [A]^{-1} \{ V_{r+\frac{1}{2}} + V_{r-\frac{1}{2}} \} \quad (11)$$

(11) 式と応力解析⁽¹⁾ より求まった上弦材軸力 $N_{r+\frac{1}{2}, r-\frac{1}{2}}$ (下部格点に作用する荷重 P で表される) を (2) 式に代入し、変位ベクトル $\{ V_{\frac{1}{2}}, V_{\frac{3}{2}}, \dots, V_{n-\frac{1}{2}} \}^T$ の係数行列式をゼロとおくことにより、限界荷重 P_{cr} を求めることができます。

4. 数値計算例

計算は、荷重 P がすべての下部格点に作用する場合を行なったものである。計算に用いた諸数値は以下のとおりである。

$$\begin{cases} n = 6, 8, 10, E_g = E_d = E_f = 2.1 \times 10^{10} \text{ kg/m}^2 \\ \lambda = 3 \text{ m}, h = 2 \text{ m}, h' = 2.52 \text{ m}, d = 2.5 \text{ m}, b = 4 \text{ m} \\ A_g = 0.03 \text{ m}^2, A_d = 0.005 \text{ m}^2, I_g = 6.036 \times 10^3 \text{ m}^4 \\ I_d = 3.308 \times 10^5 \text{ m}^4, I_f = 1.0 \times 10^3 \text{ m}^4, GJ = 24.3 \times 10^4 \text{ kg/m}^2 \end{cases}$$



(参考文献) (1)能町、岩崎；トラスドガーダーの弾性挙動について、第31回年次学術講演概要集 I - 84

(2) Timoshenko & Gere ; Theory of Elastic Stability